论著

儿童郎格汉组织细胞增生症的肺部 HRCT表现

四川省成都市妇女儿童中心医院放射科(四川成都 610019)

赖 华 李淑琴 贺明礼

【摘要】自め 研究儿童郎格汉组织细胞增生症的肺部HRCT表现。方法 选取2010年1月-2016年1月收入我院并确诊的儿童郎格汉组织细胞增生症且肺部HRCT资料完整的儿童患者23例为研究对象,分析其HRCT图像。结果 单发或多发结节2例; 房份; 小泡状透亮影4例, 其中3例磨玻璃密度影及1例小泡状透亮影合并小叶间隔、胸膜增厚。所有患者HRCT图像均未显示组织细胞增生症肺部HRCT表现包括单发或多发结节、磨玻璃密度影、间隔、胸膜增厚、小泡状透亮影等,HRCT可清晰显示患者肺部改变及转归。

【关键词】儿童; 郎格汉组织细胞增生症; 肺部; HRCT

【中图分类号】R445.3 【文献标识码】A

DOI: 10.3969/j.issn.1672-5131.2016.10.013

通讯作者: 赖 华

Pulmonary HRCT Manifestations of Langerhans Cell Histiocytosis in Children

LAI Hua, LI Shu-qin, HE Ming-li. Department of Radiology, Chengdu Women and Children's Center Hospital, Chengdu 610019, Sichuan Province, China

[Abstract] Objective To investigate the pulmonary HRCT manifestations of Langerhans cell histiocytosis in children. Methods 23 Langerhans cell histiocytosis patients were selected and 16 slice spiral CT was used to observe the pulmonary situation. Results 2 cases were single or multiple nodules, 9 cases were grinding of glass density. 10 cases were septal thickening and pleural thickening: adjacent to the pleural or leaf thickness, no clear edge; 4 cases were alveolus lucency shadow. Of which 3 cases of ground glass opacity and 1 cases of alveolar interval, pleural thickening with radiolucent shadow. Conclusion Children with Lang Gehan organization cell hyperplasia disease showed lung HRCT manifestations including single or multiple nodules and ground glass opacity, spacing, pleural thickening, alveolar radiolucent shadow without hilar and mediastinal lymph node enlargement, and can clearly display symptoms.

[Key words] Children; Lang Kahan Histiocytosis; Lung; HRCT

郎格汉组织细胞增生症(Langerhans cell histiocytosis, LCH)为少见的慢性弥漫性肺疾病^[1],又称组织细胞增生症X,主要发病原因为单核-巨噬细胞异常增殖^[2],具体发病机理至今尚未阐明。LCH主要组织学及免疫组化方法确诊,病变细胞具有郎格罕特征细胞形态。郎格汉组织细胞增生症1~3岁小儿发病较多,儿童发病率约为(0.1~1.0)/10万^[3]。主要表现为皮疹、骨破坏,通常多个器官系统均受累,好发部位包括肺、骨骼、垂体、肝、皮肤、眼、淋巴结、心脏和骨髓等^[4]。郎格汉组织细胞增生症预后取决于受累器官的种类、诊断短期内危险器官功能损害严重程度,及患者的化疗反应性,部分患者可自行痊愈,但也有相当多患者死亡^[5]。目前,国内外较少报道小儿郎格汉组织细胞增生症肺部高分辨率CT (high resolution CT, HRCT)影像表现,本研究对儿童郎格汉组织细胞增生症患者肺部HRCT表现进行分析,以期提高对该病的认识及提高诊断正确性。

1 资料与方法

- 1.1 一般资料 选取2010年1月~2016年1月收入我院并确诊的 儿童郎格汉组织细胞增生症且肺部HRCT 资料完整的儿童患者23例为 研究对象。其中,男10例,女13例,年龄0.5~24个月,平均年龄(4.71±0.33)个月;病程(4.26±0.29)个月。诊断方法:活检标本免疫组化检查,其中,皮疹标本12例,颅骨肿物标本8例,四肢长骨标本3;化疗后,有10例随访肺部HRCT。
- 1.2 方法 使用西门子Definition AS 64排螺旋CT扫描仪扫描仪, 行胸部连续扫描,扫描范围:胸廓入口至肺底部;扫描参数:低剂量扫描100kV、80mA,层厚5.0mm。使用骨算法重建0.75mm层厚的高分辨图像。扫描前,患儿镇静,取仰卧位,待平静呼吸后行胸部平扫,1200HU窗宽、-600HU窗位条件下对患者HRCT 图像进行观察。
- **1.3 统计学分析** 采用EpiData软件进行双人输入及核实,并采用 SPSS 19.0软件进行统计学分析。独立样本的非参数检验评价患者发病 年龄及病程, P<0.05为差异具有统计学意义。

2 结 果

2.1 一般资料 23例儿童郎格汉组织细胞增生症患者中,11例肺部HRCT显示有肺部改变,阳性率为47.82%。

2.2 **患者HRCT表现** (1)单发 或多发结节: 共2例, 其中1例孤 立结节1例,1例多发结节,多发 结节散布于肺野, 无具体的分布 倾向性, 直径约为1.7~4.9mm, 结节边缘清晰可辨。(2)磨玻璃密 度影: 共9例, 散在分布于肺野, 呈大片状、半片状分布。(3)间 隔增厚、胸膜增厚:共10例。表 现为不同程度双侧肺野外周小叶 间隔及后壁胸膜、叶间裂增厚。 (4) 小泡状透亮影: 共4例。3例位 于磨玻璃密度影内,1例位于正 常肺野, 主要表现为肺内聚集成 小泡状的密度减低区, 直径约为 2mm~4mm。其中3例磨玻璃密度 影及1例小泡状透亮影合并小叶 间隔、胸膜增厚。所有患者HRCT 图像均未显示肺门纵隔淋巴结肿 大。典型病例分析见图1-14。

3 讨 论

3.1 郎格汉组织细胞增生症 的病理过程及主要时间轴 LCH主 要分为三个阶段:早期,肺间质 从细支气管壁渗出:中期,形成 肉芽肿,侵犯气管及小动脉,形 成气腔;晚期,肉芽肿纤维化, 形成囊腔壁[6]。郎格汉组织细胞 肉芽肿特点包括: (1)病变累及外 周气道,主要受累位置为细支气 管。研究表明,细支气管受累程 度约75%,显著高于终末细支气管 受累(25%)[7]。(2)郎格汉细胞渗 出,细胞侵袭细支气管壁,聚集 在上皮层和平滑肌束间,细胞穿 透细支气管壁,渗入上皮层,使 肉芽肿增加,破坏细支气管壁。 (3)囊腔形成,受累管腔较正常气 道管径大。(4)郎格汉细胞肉芽肿 后期常见肉芽肿纤维化,纤维化 累及大气道,囊腔壁增厚,出现 厚壁囊腔[8]。

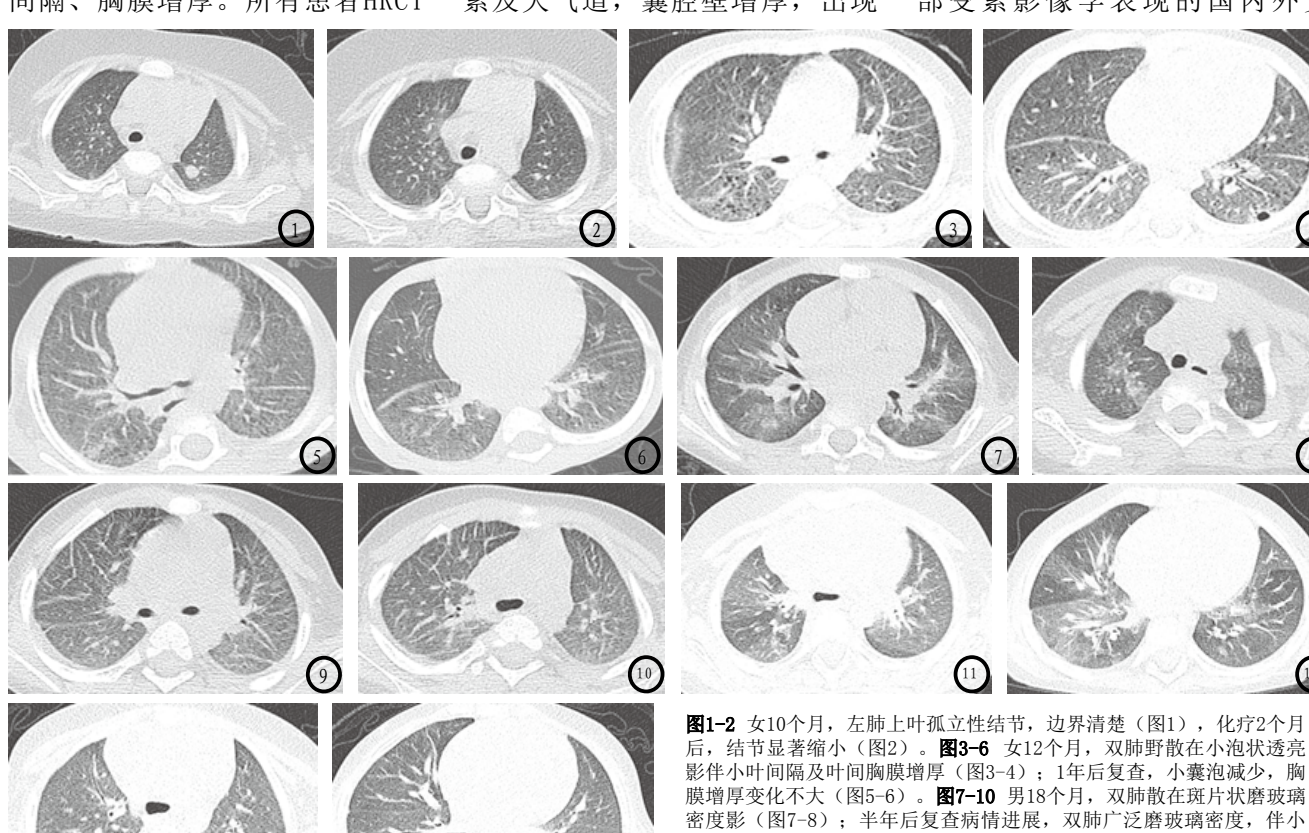
儿童郎格汉组织细胞增生症 发生肺部受累时间不同,部分患 者初诊时及存在肺部受累,另一 部分在疾病过程中出现。好发部 位包括肺、骨骼、垂体、肝、皮 肤、眼、淋巴结、心脏和骨髓 等。上述患者,病情较凶险,病 死率高。

3.2 郎格汉组织细胞增生症 检查方法及结果

3.2.1 检查方法:早期郎格 汉组织细胞增生症常不表现呼吸 系统症状。胸片对早期和隐匿患 者敏感性、特异性低。肺部高分 辨率CT (HRCT) 可有效看出肺部间 质改变、结节和囊变,该部分病 变在X线胸片中无法显示。高分辨 率CT扫描在扫描时,可更为清晰 显示肺部支气管扩张的特殊形态 和表现^[9]。HRCT可作为LCH患者无 创检查的最敏感、有效的方法。

3.2.2 影像表现:目前,儿 童郎格汉组织细胞增生症患者肺 部受累影像学表现的国内外文

叶间隔叶间胸膜增厚(图9-10)。**图11-14** 男24个月,双肺散在片状磨玻璃密度影(图11-12): 9个月后复查病变明显吸收,残留部分间隔增



厚(图13-14)。

献均较少。LCH影像表现特征性 较强, 且与疾病发生发展过程密 切相关。LCH的肺部典型表现主 要为: (1)疾病早期,肺部HRCT 显示结节或网状结节影,结节双 侧对称、弥漫分布,边缘不清, 结节间存在肺实质。结节直径 5~10mm, 可孤立样出现, 直径达 超过40mm^[10]。随着病情发展,结 节消退, 出现空腔, 转化为厚、 薄壁囊腔。(2)疾病后期,肺部 结节消退,仅存在囊腔及肺纤维 化, 引起网状阴影或蜂窝状阴 影,伴不可逆扭曲^[11]。LCH肺部病 变主要分为[12]: (1)病灶可消退, 结节阴影、厚壁囊腔、磨玻璃密 度影; (2)病灶转变, 大的结节 和厚壁囊腔可转变为厚和薄壁囊 腔; (3)病灶稳定,薄壁囊腔、线 样阴影及肺气肿。

3.3 诊断及预后 LCH肺部病 变诊断标准包括[13]: (1)具有LCH 的HRCT的典型表现; (2) 通过肺部 活检及细胞学诊断为LCH。儿童主 要通过肺外病变部位活检,结合 肺部影像即确诊肺部受累部位。 LCH早期肺部症状主要与肺结核、 结节病区分,LCH结节一般在小叶 中央、细支气管, HRCT图像表明 结节分布与病理特点相同,主要 特征为小叶间隔、结节增厚、胸 膜下结节。LCH后期主要CT表现 为囊性病变,应与支气管扩张、 淋巴管肌瘤病、肺气肿、卡氏肺 囊虫肺炎、特发性肺纤维化区 分^[14]。不同患者的LCH囊腔大小和 囊壁厚度不同。

LCH肺部侵袭主要分为肺朗格汉斯细胞组织细胞增生症及肺部受累全身多系统疾病。前者仅累及肺部,其他器官系统无病变,多发人群为成年吸烟者,经肺活检确认;后者多见于身缘不足,后者多见于肺部受累全身。系统疾病范畴,患者通过表更及骨破坏灶活检,病理表过现脏的格汉斯细胞组织细胞增生症

(pulmonary Langerhans cell histiocytosis, PLCH)无差异。

3.4 本组患者情况 儿中, 肺部HRCT表现与病例检查 结果相同。2例患儿出现单发或多 发结节,结节边缘清晰可辨。9例 现磨玻璃密度影,主要表现为大 片状、斑片状分布。10例间隔增 厚、胸膜增厚。4例小泡状透亮 影。其中3例磨玻璃密度影及1例 小泡状透亮影合并小叶间隔、胸 膜增厚。儿童郎格汉组织细胞增 生症累及肺部, 患儿HRCT缺乏特 异性,应结合病史及进行标本的 免疫组化诊断。儿童肺部可能存 在弥漫性结节, 因此应区别LCH与 粟粒型肺结核。LCH肺内结节大小 不一、分布不均,结节融合;粟 粒型肺结核病灶的大小、分布均 匀,边缘清晰,较少出现空洞。

综上所述,本组儿童郎格汉 组织细胞增生症肺部HRCT 表现包 括单发或多发结节、磨玻璃密度 影、间隔、胸膜增厚、心泡增厚。 亮影等,未见肺门纵隔淋巴结形 交及转归,能够提高对。 识及转归,能够提高对。但本的 识及提高诊断正确性。但本的的究 纳入病例较少,未能排除的一致 实及提高的形形及组织细胞增生数 制能的形形是一个。 的形部HRCT表现仍需大 的,多种研究方法证实。

参考文献

- [1]曹广亚,卓海瑛,杨海玲.郎格罕细胞组织细胞增生症-附1例报告及文献复习[J].罕少疾病杂志,2007,14(3):43-44.
- [2] 许霞, 聂秀. 朗格汉斯细胞组织细胞 增生症发病机制的研究进展[J]. 临床与实验病理学杂志, 2015, 31(12): 1392-1395.
- [3] 曹卫国, 干芸根, 赵彩蕾, 等. 郎格罕 细胞组织细胞增生症儿童颅骨病变 CT和MR诊断[J]. 中国CT和MRI杂志, 2011, 9(3): 59-61.
- [4] Gadner H, Minkov M, Grois N, et al. Therapy prolongation improves outcome in

- multisystem Langerhans cell histiocytosis[J].Blood, 2013, 121(25):5006-5014.
- [5] 谭惠珍, 范爱文, 张旭媚, 等. 儿童郎格汉斯细胞组织细胞增生症62例诊治体会[J]. 广东医学, 2014, 35(19): 3038-3040.
- [6] 李晶, 王孝宾, 吕国华, 等. 伴有神经 损害的儿童胸腰椎朗格汉斯组织细胞增生症的手术治疗[J]. 中国脊柱脊髓杂志, 2014, 24(11): 995-1000.
- [7] Girschikofsky M, Arico M,
 Castillo D, et al. Management
 of adult patients with
 Langerhans cell histiocytosis:
 recommendations from an expert
 panel on behalf of Euro-HistioNet[J]. Orphanet journal of rare
 diseases, 2013, 8(1):1.
- [8]赵雨,鲁涛,顾建刚,等.细针穿刺诊断甲状腺朗格汉斯细胞组织细胞增生症细胞病理学探讨[J].诊断病理学杂志,2015,22(9):517-521.
- [9] 田志强, 严天军. 高分辨率CT扫描在提高诊断支气管扩张敏感性、准确性的应用价值[J]. 中国CT和MRI杂志, 2016, 14(4): 55-58.
- [10] Haupt R, Minkov M, Astigarraga I, et al. Langerhans cell histiocytosis (LCH): Guidelines for diagnosis, clinical work-up, and treatment for patients till the age of 18 years [J]. Pediatric blood & cancer, 2013, 60(2):175-184.
- [11] Haroche J, Charlotte F, Arnaud L, et al. High prevalence of BRAF V600E mutations in Erdheim-Chester disease but not in other non-Langerhans cell histiocytoses [J]. Blood, 2012, 120 (13): 2700-2703.
- [12] 黄俊彬, 薛红漫, 陈岩岩, 等. JLSG 方案治疗儿童多系统朗格汉斯细胞 组织细胞增生症[J]. 中国实验血液 学杂志, 2013, 21(1): 146-149.
- [13] 胡涛, 刘嵘, 李君惠, 等. 克拉屈滨 治疗儿童难治性高危朗格汉斯细胞 组织细胞增生症: 13例报告并文献 复习[J]. 中华血液学杂志, 2014, 35(11): 985-989.
- [14] 刘冲,宋国新,张智弘,等. 甲状腺原发性孤立性朗格汉斯组织细胞增生症临床病理观察[J]. 诊断病理学杂志,2014,21(7):440-443.

(本文编辑: 唐润辉)

【收稿日期】2016-08-24